### **—** НАНОМАТЕРИАЛЫ, КЕРАМИКА **—**

УДК 620.3; 546.161; 546.650; 548.55; 537.533.35; 543.442.2; 628.9.037

# ОСОБЕННОСТИ СИНТЕЗА НАНОЧАСТИЦ $LiRF_4$ (R = Er-Lu) МЕТОДОМ ВЫСОКОТЕМПЕРАТУРНОГО СООСАЖДЕНИЯ И ИХ ФОТОЛЮМИНЕСЦЕНТНЫЕ СВОЙСТВА

© 2024 г. А.В. Кошелев<sup>1,\*</sup>, В.В. Артемов<sup>1</sup>, Н.А. Архарова<sup>1</sup>, М. S. Seyed Dorraji<sup>2</sup>, Д. Н. Каримов<sup>1</sup>

<sup>1</sup>Институт кристаллографии им. А.В. Шубникова Курчатовского комплекса кристаллографии и фотоники НИЦ "Курчатовский институт", Москва, Россия

<sup>2</sup>Department of Chemistry, Faculty of Science, University of Zanjan, Зенджан, Иран

E-mail: avkoshelev03@gmail.com Поступила в редакцию14.12.2023 г. После доработки 26.12.2023 г. Принята к публикации 26.12.2023 г.

Наночастицы Li $RF_4$  (R=Y, Yb, Lu), активированные ионами Yb³+/Er³+ и Yb³+/Tm³+, получены методом высокотемпературного соосаждения, исследовано влияние мольного соотношения прекурсоров и катионного состава матриц на их размерность и морфологию. Оптимизирован метод гетерогенной кристаллизации данных соединений с использованием нанозатравок LiYF4, что открывает возможности управляемого синтеза наноразмерных частиц Li $RF_4$  с контролируемыми характеристиками. Среди изученных объектов наночастицы LiYF4@LiYbF4: Tm³+@LiYF4 демонстрируют наиболее интенсивную антистоксовую фотолюминесценцию в УФ- ( $\lambda=362$  нм) и синем ( $\lambda=450$  нм) диапазонах, что превышает аналогичные показатели для частиц  $\beta$ -NaYF4: Yb³+/Tm³+@NaYF4. Наночастицы LiYF4@LiLuF4: Yb³+/Er³+@LiYF4 являются наиболее эффективными преобразователями ИК-излучения в области  $\lambda=1530$  нм среди исследованных изоструктурных матриц и проявляют близкие показатели спектрально-люминесцентных свойств с соединением  $\beta$ -NaYF4: Yb³+/Er³+@NaYF4 с эквивалентной степенью солегирования. Полученные результаты позволяют рассматривать наночастицы LiYF4@LiYbF4: Tm³+@LiYF4 и LiYF4@LiLuF4: Yb³+/Er³+@LiYF4 в качестве реальной альтернативы наиболее широко применяемым люминофорам на основе гексагональной матрицы  $\beta$ -NaYF4 для задач фотоники и биотехнологий.

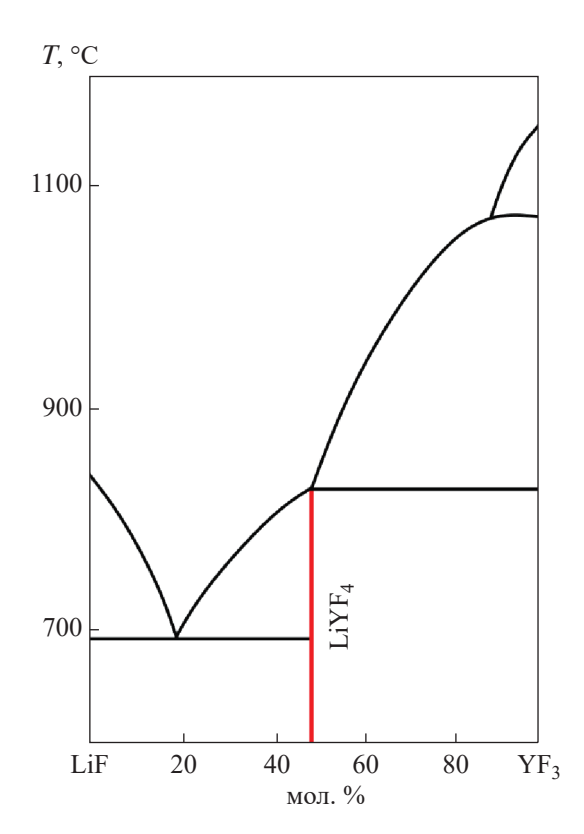
DOI: 10.31857/S0023476124020168, EDN: YSECJW

#### **ВВЕДЕНИЕ**

Двойные шеелитоподобные фториды  $LiRF_{4}$ (R = Y, Gd-Lu) являются востребованными функциональными материалами для оптики, фотоники и физики высоких энергий. Широкая оптическая прозрачность данных соединений, низкие энергии фононов ( $\hbar\omega_{\rm max} \sim 450~{\rm cm}^{-1}$ ), высокая изоморфная емкость по отношению к ионам редкоземельных элементов (РЗЭ) и низкая локальная симметрия  $S_4$  позиций РЗЭ в тетрагональной матрице (пр. гр.  $I4_1/a$ , Z=4) обеспечивают получение широкополосной фотолюминесценции (ФЛ) как по стоксовому, так и по антистоксовому механизму возбуждения, что объясняет практический интерес к этим кристаллам как твердотельным активным средам для эффективной генерации лазерного излучения в различных спектральных диапазонах и сцинтилляторам [1–6]. Кристаллы  $LiRF_{\star}$ (R = Tb, Dy, Ho) являются перспективными для

создания магнитооптических устройств и модельными объектами для изучения магнетизма [7–9].

Развитие методологических подходов к химическому синтезу наноразмерных объектов позволило осуществить конвергенцию широкого набора функциональных материалов на основе простых и двойных фторидов  $MF_2$ ,  $RF_3$ ,  $LiRF_4$ ,  $NaRF_4$ ,  $BaRF_5$ ,  $KR_3F_{10}$  (M = Ca - Ba; R = Y, La - Lu) в область нанотехнологий и существенно расширить потенциал их практического применения. В настоящее время фторидные наноматериалы активно применяются в качестве ФЛ-меток для решения различных прикладных задач в сферах биомедицины, фотокатализа, солнечной энергетики, антиконтрафактных и телекоммуникационных технологий, наносенсорики и других [10-17], причем основной приоритет уделяется исследованиям некубических фторидных матриц на основе тяжелых редких земель (R = Yb, Lu) с низкосимметричным локальным окружением активных ионов. В системах



**Рис. 1.** Фазовая диаграмма двойной системы LiF–YF<sub>3</sub> [18].

 $LiF-RF_3$  (рис. 1) существуют устойчивые соединения LiRF<sub>4</sub>, соответствующие эквимолярному соотношению компонентов, с тетрагональной кристаллической структурой (пр. гр.  $I4_1/a$ ) [18]. Отсутствие полиморфных превращений позволяет обеспечить направленный химический синтез однофазных образцов  $LiRF_4$  в наносостоянии, более простой с технологической точки зрения по сравнению, например, с наночастицами (**HЧ**)  $NaRF_4$  гексагональной β-модификации, синтез которых значительно осложнен особенностями полиморфизма [19, 20], или соединений в системах КF-RF<sub>3</sub>, отличающихся многообразием образующихся стабильных фаз [21]. Легированные разнообразными комбинациями ионов РЗЭ НЧ LiRF<sub>4</sub>, полученные различными методами (гидротермальный синтез, высокотемпературное соосаждение, термического разложения фторидных прекурсоров), демонстрируют интенсивную ФЛ при различного рода возбуждении и являются одними из наиболее перспективных для исследований представителей нанофторидов [22–27].

Фотолюминесцентные НЧ на основе матриц  $LiRF_4$  не получили широкого применения в сравнении с соединениями  $\beta$ -Na $RF_4$ , которые на данный момент являются наиболее изученными и широко используемыми на практике [28, 29]. Это может быть связано с более низкими показателями

спектрально-люминесцентных характеристик HЧ  $\text{Li}R\text{F}_4$ , однако имеются противоречивые спектроскопические данные, не позволяющие достоверно сравнить эффективность ФЛ HЧ  $\text{Li}R\text{F}_4$  и  $\beta\text{-Na}R\text{F}_4$  вследствие существенных различий в размерах и морфологии, а также условий возбуждения образцов [27, 30–32].

Дополнительным фактором ограниченного применения  $H^{u}$   $LiRF_{4}$  является трудность их получения с заранее прогнозируемым размерным и морфологическим составом. Применение методов термолиза трифторацетатных прекурсоров [23, 30] или гидротермального синтеза [27, 33, 34] позволяет получать частицы  $LiRF_{4}$ , как правило, субмикронного и микронного размера. Получение этих соединений в наносостоянии требует усложнения состава реакционной среды и технологии синтеза.

Метод высокотемпературного соосаждения [26, 35, 36] является наиболее пригодным для получения НЧ  $LiRF_4$  до 20 нм, варьирование размерности частиц обеспечивается продолжительностью процесса. Однако контролируемое выращивание более крупногабаритных НЧ затруднено недостаточной изученностью влияния параметров данного подхода (например, мольного соотношения прекурсоров, химического состава матрицы и органических растворителей) на их размерные и морфологические свойства. Весьма актуальным остается и вопрос об оптимальном качественном составе кристаллической матрицы LiRF<sub>4</sub> для обеспечения комплексного повышения интенсивности ФЛ как по ап-, так и по даун-конверсионным схемам возбуждения, так как детальных исследований в данном направлении ранее практически не проводилось [25, 37].

Цель данной работы — исследование особенностей синтеза HЧ LiRF $_4$ , легированных ионами РЗЭ, со структурой ядро/оболочка методом высокотемпературного соосаждения и его оптимизация для управляемого получения частиц в широком размерном диапазоне при различном соотношении прекурсоров и катионном составе матрицы LiRF $_4$  (R = Y, Yb, Lu), обеспечивающем эффективное комплексное преобразование возбуждающего ИК-излучения.

## ЭКСПЕРИМЕНТАЛЬНЫЕ МЕТОДИКИ

Синтез H4 Li $RF_4$  (R=Y, Yb, Lu), солегированных комбинациями P39, осуществляли модифицированным методом высокотемпературного соосаждения ацетатных прекурсоров в высококипящих органических растворителях [38] в соответствии с реакцией

CH<sub>3</sub>COOLi + (CH<sub>3</sub>COO)<sub>3</sub> 
$$R$$
 + 4NH<sub>4</sub>F →  
→ Li $R$ F<sub>4</sub> + 4CH<sub>3</sub>COOH + 4NH<sub>3</sub> ↑. (1)

В качестве источника фтора использовали фторид аммония (Chemcraft, чистота 99.0%). Определенное количество ацетатов лития и соответствующих РЗЭ (Chemcraft, чистота 99.5%) растворяли в смеси олеиновой кислоты и 1-октадецена (Sigma Aldrich, чистота 90.0%) в инертной атмосфере при температуре 430 К. Далее добавляли соответствующее количество NH<sub>4</sub>F и интенсивно перемешивали реакционную смесь в течение 30 мин. Затем полученный раствор выдерживали 40 мин при температуре 470 К под вакуумом (уровень остаточного давления 10 мм рт. ст.) для удаления кислорода и остаточной воды с последующим его нагревом и выдержкой при температуре 580 К в инертной атмосфере в течение 60 мин. После охлаждения колбы до комнатной температуры НЧ концентрировали центрифугированием, троекратно промывали 2-пропанолом и диспергировали в 10 мл гексана (ЭКОС, марка ОСЧ). Содержание лигатуры  $Yb^{3+}/Er^{3+}$  и  $Yb^{3+}/Tm^{3+}$  для матриц  $LiYF_4$  и  $LiLuF_4$ составило 20/2 и 20/0.6 мол. % соответственно. Для матрицы LiYbF<sub>4</sub> данные соотношения составили 98/2 и 99.4/0.6 мол. %. В процессе экспериментов исходя из данных [23, 24, 26, 30, 35, 36] варьировали мольное соотношение  $n(Li^+):n(R^{3+}):n(F^-)$  в пределах 1:1:4, 1.75:1:4, 2.5:1:4.

Для синтеза НЧ со структурой ядро/оболочка применяли метод термического разложения трифторацетатных прекурсоров [39, 40]. Трифторацетаты РЗЭ получали растворением соответствующих оксидов  $R_2O_3$  (ЛАНХИТ, чистота 99.995%) в 50 мас. % растворе трифторуксусной кислоты (Sigma Aldrich, чистота 99.999%). В качестве ядер использовали полученные на предыдущем этапе методом соосаждения частицы, к которым добавляли эквимолярную смесь CF<sub>3</sub>COOLi и (CF<sub>3</sub>COO)<sub>3</sub>R. Раствор нагревали до 590 К в инертной атмосфере и выдерживали 45 мин. Соотношение n(ядро):n(оболочка) составило 1:1. После аналогичной процедуры очистки коллоиды НЧ LiRF<sub>4</sub>, диспергированных в 10 мл гексана, использовали для дальнейших исследований. Процедуру наращивания повторяли 1–5 раз для создания многослойных структур.

НЧ  $\beta$ -NaYF<sub>4</sub>:Yb<sup>3+</sup>/Er<sup>3+</sup>(Tm<sup>3+</sup>) синтезировали по аналогичной методике и использовали как образцы для сравнения.

Рентгенофазовый анализ (РФА) полученных НЧ проводили на порошковом рентгеновском дифрактометре Miniflex 600 с излучением  $CuK_{\alpha}$  (Rigaku, Япония) в диапазоне углов  $10^{\circ} \le 20 \le 90^{\circ}$  с шагом сканирования  $2^{\circ}$ . Идентификацию фаз осуществляли с помощью электронной базы данных ICDD PDF-2 (2014). Для расчета параметров элементарной ячейки фаз и полнопрофильного анализа дифрактограмм методом Le Bail использовали пакет программ Jana2006. Усредненный размер кристаллитов полученных частиц вычисляли по уравнению Шеррера:

$$d = \frac{K \cdot \lambda}{\Lambda \cdot \cos \theta},\tag{2}$$

где d — область когерентного рассеяния (**ОКР**),  $\lambda$  — длина волны рентгеновского излучения  $\mathrm{Cu}K_{\alpha}$  (1.54 Å),  $\Delta$  — ширина рефлекса на половине высоты,  $\theta$  — угол брэгговского отражения, K = 0.94 — постоянная для частиц сферической формы.

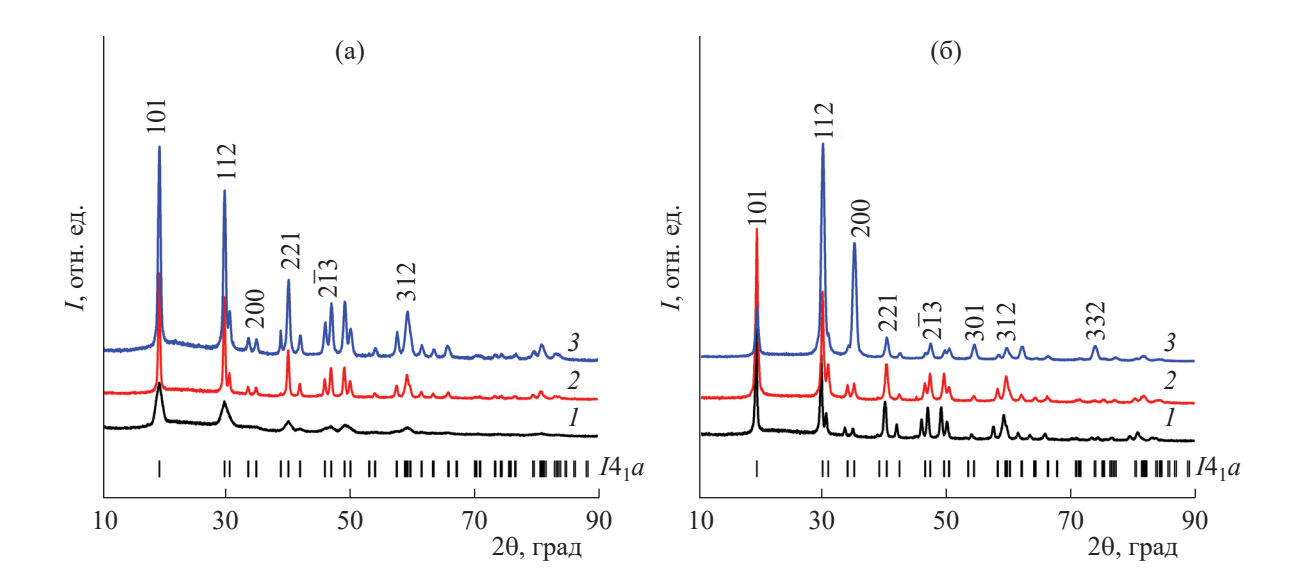
Электронно-микроскопическое исследование осуществляли на сканирующем электронном микроскопе (СЭМ) JSM-7401F (Jeol, Япония) с холодной полевой эмиссией в режиме торможения первичного пучка Gentle Beam при ускоряющем напряжении 1 кВ и просвечивающем электронном микроскопе (ПЭМ) Теспаі Osiris (FEI, США), оснащенном высокочувствительным EDX-спектрометром Super-X SDD, при ускоряющем напряжении 200 кВ. Отметим, что представленные линейные измерения, выполненные на СЭМ, носят относительный и оценочный характер, это связано с высокой относительной погрешностью, которая может достигать для этого диапазона размеров 20%.

Фотолюминесцентные свойства образцов исследовали на спектрофотометре Fluorolog-3 (НЈУ, Франция), оборудованном детектором Hamamatsu R929P (Натать Photonics, Япония). В качестве источника возбуждения использовали полупроводниковый ИК-лазер ATC Semiconductor с длиной волны возбуждения  $\lambda = 975$  нм.

#### РЕЗУЛЬТАТЫ И ИХ ОБСУЖДЕНИЕ

Влияние мольного соотношения прекурсоров  $n(\mathrm{Li^+})$ : $n(R^{3+})$ : $n(\mathrm{F^-})$  на размерно-морфологические характеристики НЧ было исследовано на примере соединения  $\mathrm{LiYF_4}$ : $\mathrm{Yb^{3+}/Er^{3+}}$ . Полученные образцы являлись однофазными (рис. 2а), их структура соответствовала соединению  $\mathrm{LiYF_4}$  (пр. гр.  $I4_1/a$ , ICDD PDF 01-085-0806). Значимых изменений структурных параметров НЧ, полученных при большем содержании  $\mathrm{CH_3COOLi}$  относительно стехиометрии реакции (1), обнаружено не было (табл. 1). Наблюдался рост ОКР кристаллитов при увеличении содержания источника лития в реакционной смеси.

Эволюцию морфологических и размерных характеристик HЧ Li $RF_4$  при варьировании содержания CH<sub>3</sub>COOLi при синтезе наблюдали методами электронной микроскопии (рис. 3а–3в). При эквимолярном соотношении  $n(\mathrm{Li}^+)$ : $n(R^{3+})$  кристаллизуются монодисперсные сферические HЧ со средним размером  $\sim$ 8.5 нм, что согласуется с данными расчета ОКР (рис. 3а). Сокращение продолжительности процесса синтеза приводит к незначительному уменьшению размеров НЧ, а увеличение концентрации ацетата лития в системе приводит к существенному росту размеров частиц до 43 нм с выраженным ромбическим габитусом, обусловленным



кристаллической симметрией соединений (рис. 36, 3в). Очевидно, что при повышенном содержании прекурсоров лития в реакционной смеси происходит ускорение кинетики роста HЧ LiYF $_4$ , однако природа данного явления требует дополнительных теоретических исследований.

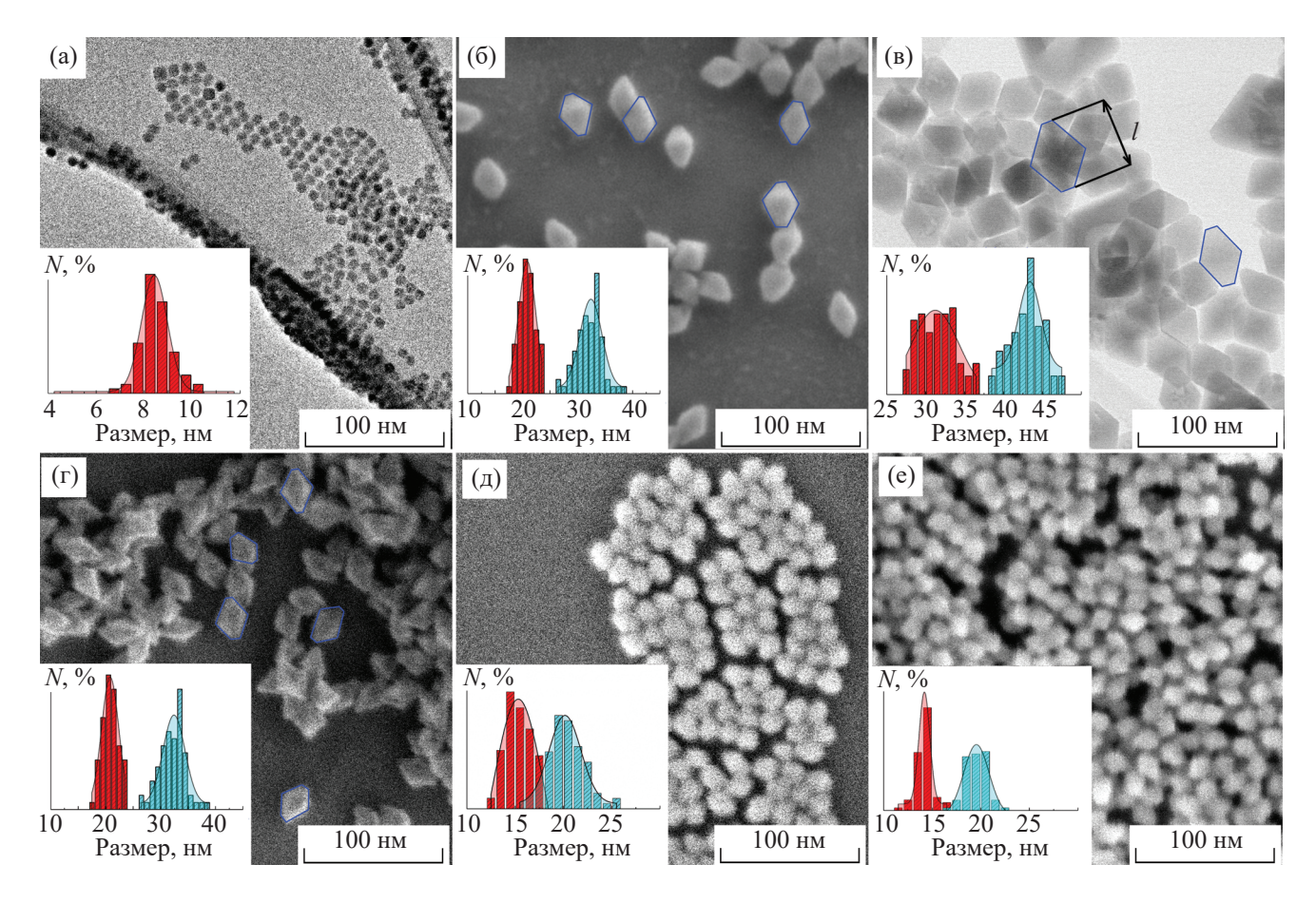
Изменение катионного состава матрицы  $LiRF_4$  (R = Y, Yb, Lu) оказывает существенное влияние на размерные характеристики HЧ. Полученные частицы были однофазными (рис. 26). Незначительное смещение рефлексов в сторону больших углов 20 и, как следствие, уменьшение параметров кристаллической решетки в ряду R = Y-Yb-Lu обусловлено явлением "лантаноидного сжатия"

(табл. 1). ОКР частиц уменьшается при переходе от  $R = Y \kappa$  Lu приблизительно на 30%, что согласуется с данными СЭМ-анализа (рис. 2г—2e).

Согласно исследованиям [41—44] зависимость размерных свойств от вида катиона R наблюдается и для соединений  $\beta$ -Na $RF_4$ . В отличие от полученных нами результатов, более низкая размерность НЧ  $\beta$ -Na $RF_4$  характерна для соединений на основе ионов легких РЗЭ, что объясняется ростом поляризуемости более крупных ионов  $\text{La}^{3+}$ — $\text{Gd}^{3+}$  и ингибирования процессов диффузии анионов F к поверхности граней НЧ. Влияние качественного состава матрицы на механизм роста НЧ  $\text{Li}RF_4$  имеет иную природу, более низкая размерность частиц

**Таблица 1.** Рентгенографические параметры НЧ  ${\rm Li}R{\rm F}_4$ , полученных при различных соотношениях прекурсоров и катионном составе матрицы

Состав	$n(\text{Li}^+):n(R^{3+}):n(\text{F}^-)$	Параметры решетки $a/c$ , Å	ОКР <i>d</i> , нм	Данные СЭМ <i>I</i> , нм	
		$I4_1/a$	OKI a, HM		
LiYF <sub>4</sub> :Yb/Er	1:1:4	5.1568(6), 10.6972(1)	8	8.5	
	1.75:1:4	5.1530(3), 10.6854(1)	23	31	
	2.5:1:4	5.1593(8), 10.7013(2)	27	43	
LiYbF <sub>4</sub> :Tm	1.75.1.4	5.1288(2), 10.5746(6)	15	20	
LiLuF <sub>4</sub> :Yb/Tm	1.75:1:4	5.1246(2), 10.5558(8)	14	19	



**Рис. 3.** СЭМ- и ПЭМ-изображения НЧ LiRF<sub>4</sub> с соответствующими гистограммами размерного распределения, полученных при различном соотношении прекурсоров: а -1:1:4, б -1.75:1:4, в -2.5:1:4, и катионном составе матрицы: R = Y(r), Yb (д), Lu (e).

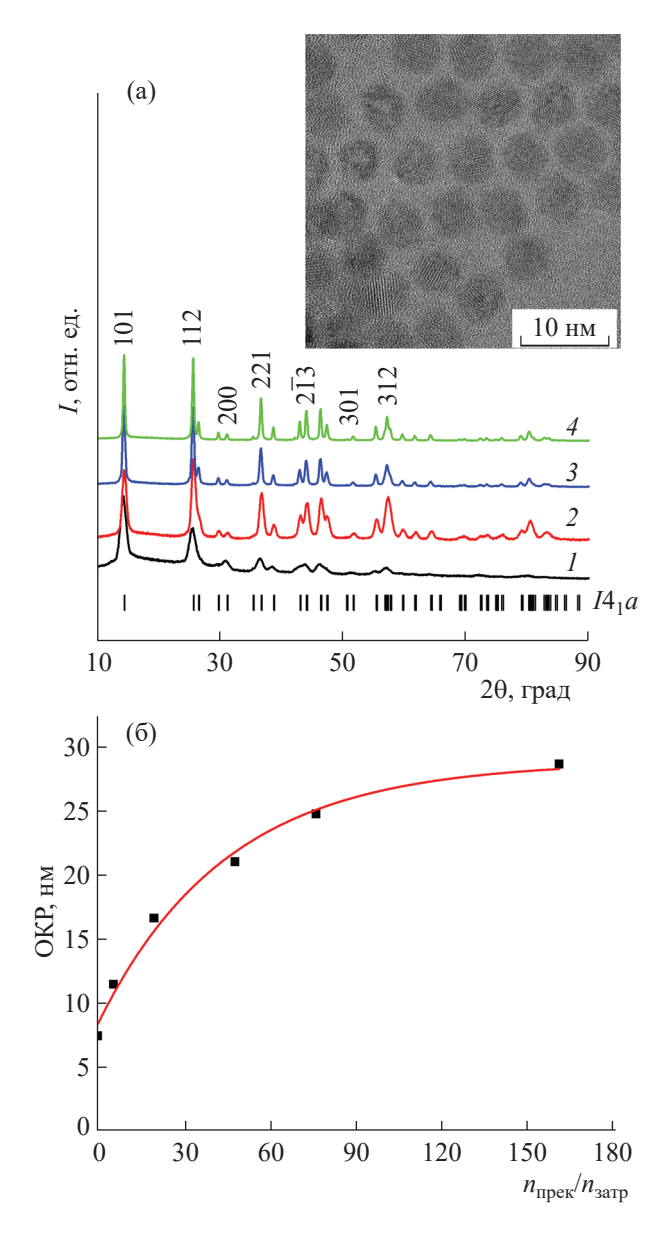
 ${\rm Li}R{\rm F}_4$  на основе тяжелых РЗЭ, вероятно, вызвана их более низкой скоростью роста. Это наблюдение требует дополнительного изучения.

Оптимизация методики гетерогенной кристаллизации НЧ LiRF<sub>4</sub>. Для синтеза эквивалентных по размерам НЧ  $\text{Li}RF_4$  и последующего объективного сравнения и ФЛ-характеристик по ряду R = Y - Yb - Lu был применен метод гетерогенной кристаллизации с использованием ультрамелких неактивированных затравок LiYF<sub>4</sub> (диаметром до 6 нм), выращенных методом высокотемпературного соосаждения при  $n(Li^+):n(R^{3+}):n(F^-)=1:1:4$ в течение 15 мин (рис. 4а). Последовательное нанесение эпитаксиальных оболочек на затравки осуществляли методом термического разложения трифторацетатных прекурсоров, соотношение трифторацетатов  $n(Li^+):n(R^{3+})$  в реакционной смеси было фиксированным и составляло 1:1. Суммарное соотношение количества прекурсоров, использованных для нанесения оболочки, и нанозатравок  $LiYF_4 n_{npek}: n_{3arp}$  варьировалось в диапазоне от 5:1 до 160:1. Рентгенограммы полученных многослойных структур (рис. 4a) индицируются в пр. гр.  $I4_1/a$ ,

дополнительных фаз не наблюдается. Увеличение степени кристалличности полученных НЧ и возрастание ОКР после нанесения оболочек подтверждают успешное эпитаксиальное наращивание на исходные затравки. Зависимость ОКР частиц от соотношения  $n_{\rm прек}$ : $n_{\rm затр}$  (рис. 46) аппроксимируется формулой

OKP = 
$$28.81 - 20.46 \cdot e^{-0.22 \cdot \left(\frac{n_{\text{npek}}}{n_{\text{3arp}}}\right)}$$
. (3)

Используя полученную зависимость ОКР частиц от соотношения  $n_{\rm npek}$ :  $n_{\rm 3arp}$ , были подобраны условия для синтеза двух серий однофазных НЧ Li $RF_4$  (R=Y, Yb, Lu), легированных ионами Yb<sup>3+</sup>/Tm<sup>3+</sup> и Yb<sup>3+</sup>/Er<sup>3+</sup>, со структурой затравка/ ядро/оболочка с ориентировочными значениями ОКР 15 и 30 нм соответственно (рис. 5а). Близкие значения ОКР частиц в двух сериях экспериментов (табл. 2) подтверждают достоверность полученной эмпирической зависимости (3). Таким образом, использование ультрамаленьких затравок нивелирует влияние природы катиона  $R^{3+}$  на размерность



**Рис. 4.** Рентгенограммы нанозатравок LiYF<sub>4</sub> (*1*) и структур, полученных после нанесения одной (*2*), трех (*3*) и пяти (*4*) эпитаксиальных оболочек LiYF<sub>4</sub>:Yb<sup>3+</sup>/Er<sup>3+</sup> (a); ПЭМ-изображение затравок LiYF<sub>4</sub> приведено во вставке. Зависимость размерности НЧ LiYF<sub>4</sub>:Yb<sup>3+</sup>/Er<sup>3+</sup> от соотношения  $n_{\rm npex}$ : $n_{\rm samp}$  (б).

НЧ Li $RF_4$  и позволяет прогнозировать их габаритные характеристики. По данным СЭМ (рис. 56, 5в) синтезированные НЧ имеют ромбическую форму со средними размерами диагоналей 19 и 60 нм для соотношений  $n_{\text{прек}}.n_{\text{затр}}$ , равных 20 и 160. Толщина инертных оболочек достигала 2.5 и 13 нм соответственно. Значительное различие значений ОКР и результатов СЭМ-анализа для НЧ, полученных методами при больших соотношениях  $n_{\text{прек}}.n_{\text{затр}}$ , объясняется значительными отклонениями формы частиц от сферической.

Получение образцов сравнения β-NaYF<sub>4</sub>, легированных P3Э. Необходимым условием для корректного сравнения спектроскопических характеристик НЧ на основе разных матриц является эквивалентность их объемов и удельного содержания активных ионов. Расчет объемов НЧ тетрагональной и гексагональной сингонии проводили исходя из их равновесной геометрической формы (тетрагональная бипирамида и правильная шестигранная призма) по формулам

$$V(\text{Li}R\text{F}_4) = \frac{2a^2h}{3},\tag{4}$$

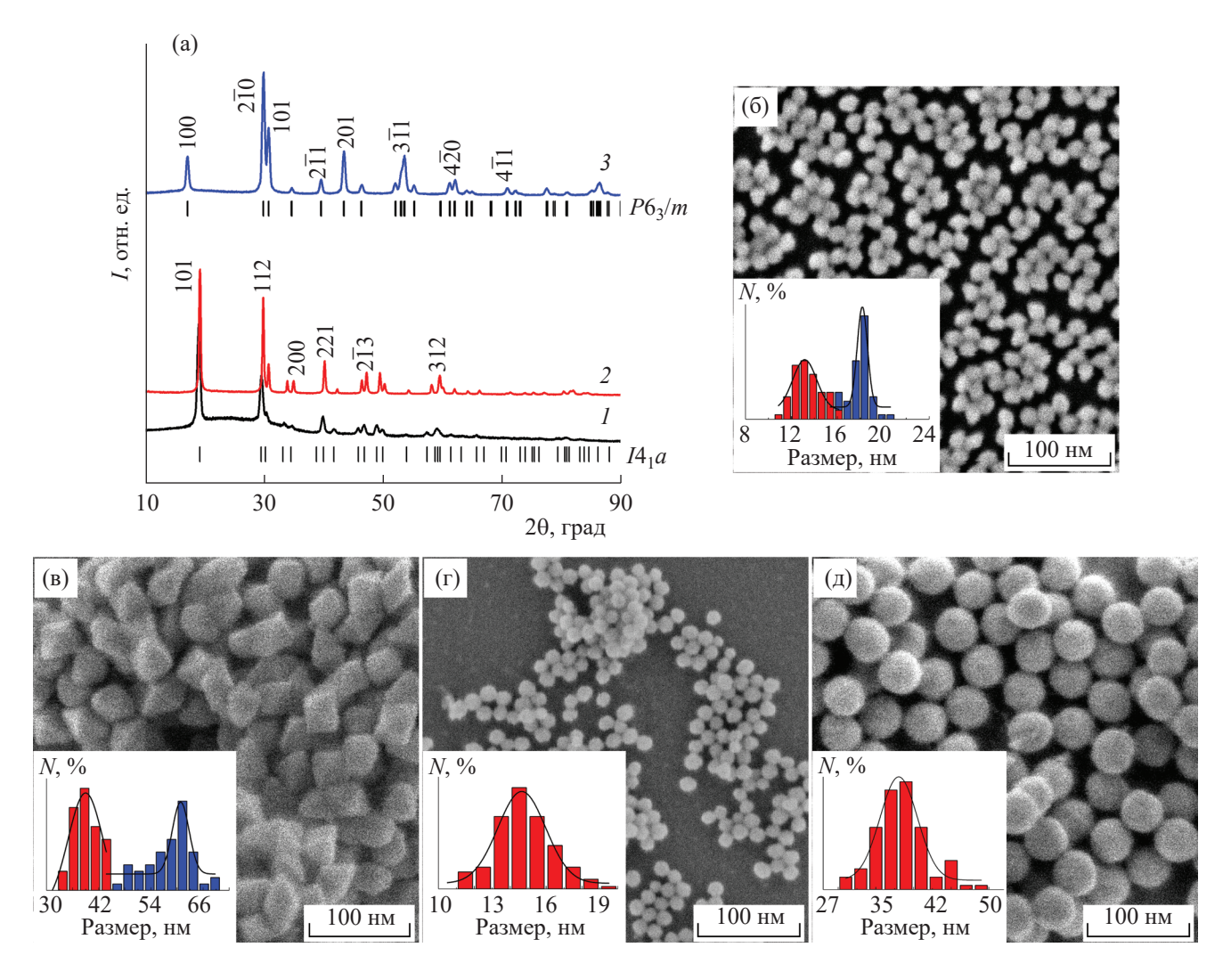
$$V(\text{NaYF}_4) = \frac{3\sqrt{3a^2h}}{3},\tag{5}$$

где a и h — ребро основания и высота бипирамиды/ шестигранной призмы соответственно.

Объемы НЧ Li $RF_4$  со структурой затравка/ ядро/оболочка со средними размерами  $20 \times 15 \text{ нм}^2$  ( $n_{\text{прек}}$ : $n_{\text{затр}} = 20$ ) и  $58 \times 38 \text{ нм}^2$  ( $n_{\text{прек}}$ : $n_{\text{затр}} = 160$ ) составили  $\sim 1500$  и 27500 нм³, что идентично гексагональным НЧ  $\beta$ -NaYF $_4$  с латеральными размерами 2a, равными 14 и 38 нм соответственно (при h = 1.2a). В процессе синтеза были получены монодисперсные сферические и частично ограненные НЧ  $\beta$ -NaYF $_4$ :Yb $^3$ +/Tm $^3$ +@NaYF $_4$  и  $\beta$ -NaYF $_4$ :Yb $^3$ +/Er $^3$ +@NaYF $_4$  (пр. гр.  $P6_3/m$ ) со структурой ядро/оболочка и средними размерами, идентичными рассчитанным (рис. 5r, 5д).

Спектрально-люминесцентные свойства. Полученные при ИК-возбуждении спектры ФЛ НЧ  $\text{Li}RF_4$  (R=Y, Yb, Lu) и  $\beta$ -NaYF4, легированных парами ионов  $Yb^{3+}/\text{Tm}^{3+}$  и  $Yb^{3+}/\text{Er}^{3+}$ , показаны на рис. 6. Наблюдаемые полосы соответствуют характеристическим энергетическим 4f-переходам в ионах  $\text{Tm}^{3+}$  и  $\text{Er}^{3+}$ . Для литиевых матриц наблюдается более выраженное расщепление спектральных полос по сравнению с гексагональными НЧ, что объясняется различной локальной симметрией активных центров  $S_4$  в тетрагональной матрице относительно  $C_{3h}$  в  $\beta$ -NaYF4 и частичной структурной разупорядоченностью последней [32].

Из серии образцов LiYF<sub>4</sub>@Li*R*F<sub>4</sub>:Yb<sup>3+</sup>/Tm<sup>3+</sup>@ LiYF<sub>4</sub> наиболее интенсивная антистоксовая ФЛ наблюдается для R = Yb. Она превышает показатели НЧ с R = Yu Lu в 4 раза для УФ- ( $\lambda = 362$  нм) и в 7 раз для синей ( $\lambda = 450$  нм) областей спектра (рис. 6а). Это является следствием увеличения сечения поглощения ИК-излучения НЧ из-за высокого содержания ионов Yb<sup>3+</sup> в ядре и более высокой плотности накачки высокоэнергетических уровней в ионах Tm<sup>3+</sup> [45]. Интенсивность полос ФЛ НЧ LiYF<sub>4</sub>@LiYbF<sub>4</sub>:Tm<sup>3+</sup>@LiYF<sub>4</sub> в УФи синем диапазонах превосходят аналогичные показатели НЧ  $\beta$ -NaYF<sub>4</sub>:Yb<sup>3+</sup>/Tm<sup>3+</sup>@NaYF<sub>4</sub> в 2.5



**Рис. 5.** Рентгенограммы НЧ LiYF<sub>4</sub>@LiYF<sub>4</sub>:Yb<sup>3+</sup>/Tm<sup>3+</sup>@LiYF<sub>4</sub> ( $n_{\Sigma п p e \kappa}$ : $n_{3 a r p} = 20$ ) (I), LiYF<sub>4</sub>@LiLuF<sub>4</sub>:Yb<sup>3+</sup>/Er<sup>3+</sup>@LiYF<sub>4</sub> ( $n_{\Sigma n p e \kappa}$ : $n_{3 a r p} = 160$ ) (I) со структурой затравка/ядро/оболочка и реперных НЧ I-NaYF<sub>4</sub>:Yb<sup>3+</sup>/Tm<sup>3+</sup>@NaYF<sub>4</sub> (I). СЭМ-изображения НЧ LiYF<sub>4</sub>@LiYF<sub>4</sub>:Yb<sup>3+</sup>/Tm<sup>3+</sup>@LiYF<sub>4</sub> (I), LiYF<sub>4</sub>@LiLuF<sub>4</sub>:Yb<sup>3+</sup>/Er<sup>3+</sup>@LiYF<sub>4</sub> (I), I-NaYF<sub>4</sub>:Yb<sup>3+</sup>/Tm<sup>3+</sup>@NaYF<sub>4</sub> (I) с соответствующими гистограммами размерного распределения.

и 1.5 раза соответственно, что, вероятно, связано с большей эффективностью заселения высоколежащих энергетических уровней ионов  $Tm^{3+}$  в матрице  $LiYbF_4$ .

Для НЧ LiYF<sub>4</sub>@LiRF<sub>4</sub>:Yb<sup>3+</sup>/Er<sup>3+</sup>@LiYF<sub>4</sub> наиболее интенсивная ФЛ в зеленом (520–550 нм) и ИК- (1500–1550 нм) диапазонах наблюдается для R = Lu, что превосходит аналогичные характеристики для НЧ с R = Y и Yb в 3 и 1.1 раза соответственно (рис. 6б). Вероятно, данный факт объясняется повышением эффективности процессов передачи энергии между активными ионами Yb<sup>3+</sup> и Er<sup>3+</sup> вследствие уменьшения межатомных расстояний в матрицах LiRF<sub>4</sub> на основе тяжелых P3Э. Для НЧ LiYF<sub>4</sub>@LiYbF<sub>4</sub>:Er<sup>3+</sup>@LiYF<sub>4</sub> наблюдается многократный рост интенсивности красной полосы (630–675 нм), что вызвано

тушением антистоксовой  $\Phi$ Л вследствие активизации кросс-релаксационных процессов между ионами  $Yb^{3+}$  и  $Er^{3+}$  [46, 47].

НЧ LiYF<sub>4</sub>@LiLuF<sub>4</sub>:Yb<sup>3+</sup>/Er<sup>3+</sup>@LiYF<sub>4</sub> демонстрируют более низкую интенсивность антистоксовой ФЛ по сравнению с НЧ  $\beta$ -NaYF<sub>4</sub>:Yb<sup>3+</sup>/Er<sup>3+</sup>@NaYF<sub>4</sub> (рис. 6б), что, вероятно, связано с большими межатомными расстояниями между активными ионами  $R^{3+}$  в тетрагональных матрицах относительно гексагональных соединений. Это негативно сказывается на эффективности процессов безызлучательного переноса энергии между активными ионами и вероятности заселения высокоэнергетических состояний ионов  $Er^{3+}$ . С другой стороны, интенсивность стоксовой ФЛ (1500—1550 нм) НЧ LiYF<sub>4</sub>@LiLuF<sub>4</sub>:Yb<sup>3+</sup>/Er<sup>3+</sup>@LiYF<sub>4</sub> и  $\beta$ -NaYF<sub>4</sub>:Yb<sup>3+</sup>/Er<sup>3+</sup>@NaYF<sub>4</sub> сопоставима между

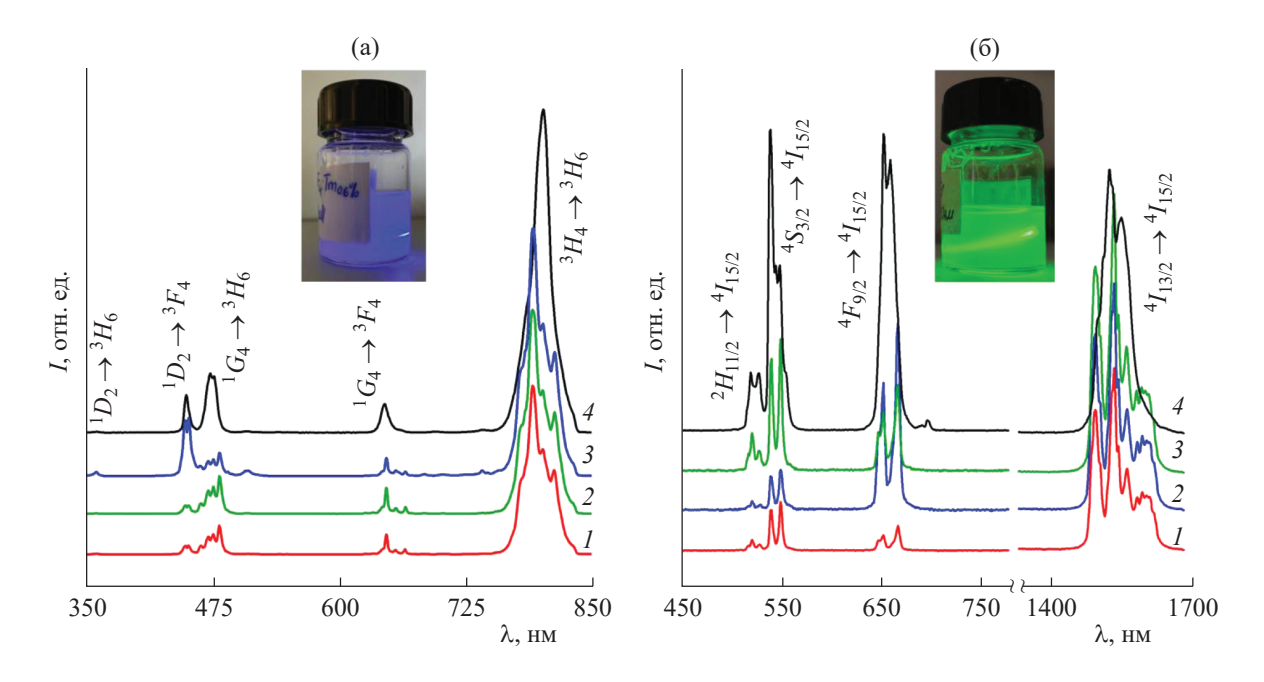
<b>Таблица 2.</b> Рентгенографические параметры $HY \text{ Li}RF_4$ со структурой затравка/ядро/оболочка и образцов срав-
нения $β$ -NaYF <sub>4</sub> , легированных парами ионов Yb <sup>3+</sup> /Tm <sup>3+</sup> и Yb <sup>3+</sup> /Er <sup>3+</sup>

Состав активного ядра	$n_{\text{прек}}:n_{\text{затр}}$	Пр. гр.	Параметры решетки $a/c$ , Å	OKP d, нм	l, hm
LiYF <sub>4</sub> :Yb/Tm			5.1595(1), 10.7035(4)	15	19
LiYbF <sub>4</sub> :Tm	20		5.1291(1), 10.5746(6)	15	20
LiLuF <sub>4</sub> :Yb/Tm			5.1239(1), 10.5547(7)	14	19
LiYF <sub>4</sub> :Yb/Er		I4 <sub>1</sub> /a	5.1630(1), 10.7157(2)	29	57
LiYbF <sub>4</sub> :Er	160		5.1341(1), 10.5899(2)	29	59
LiLuF <sub>4</sub> :Yb/Er			5.1259(1), 10.5552(3)	30	58
β-NaYF <sub>4</sub> :Yb/Tm			5.9653(1), 3.5096(1)	16	15
β-NaYF <sub>4</sub> :Yb/Er		P6 <sub>3</sub> /m	5.9687(2), 3.5093(1)	35	39

собой, что, возможно, связано с ростом заселенности промежуточного состояния  $^4I_{11/2}$  ионов  ${\rm Er}^{3+}$  в матрицах  ${\rm Li}R{\rm F}_4$  вследствие меньшей эффективности антистоксового преобразования энергии и интенсификации процессов его безызлучательного распада  $^4I_{11/2}{\to}^4I_{13/2}$ .

## выводы

НЧ на основе матрицы  $LiRF_4$  (R = Y, Yb, Lu), легированные ионами  $Yb^{3+}/Er^{3+}$  и  $Yb^{3+}/Tm^{3+}$ , в размерном диапазоне от 6 до 60 нм были получены методом высокотемпературного соосаждения



**Рис. 6.** Спектры ФЛ НЧ LiYF<sub>4</sub> (*1*), LiYbF<sub>4</sub> (*2*), LiLuF<sub>4</sub> (*3*),  $\beta$ -NaYF<sub>4</sub> (*4*), легированных ионами Yb<sup>3+</sup>/Tm<sup>3+</sup> (a) и Yb<sup>3+</sup>/Er<sup>3+</sup> (б). Внешний вид и наблюдаемая ФЛ коллоидов НЧ LiYF<sub>4</sub>@LiYF<sub>4</sub>:Yb<sup>3+</sup>/Tm<sup>3+</sup>@LiYF<sub>4</sub> и LiYF<sub>4</sub>@LiLuF<sub>4</sub>:Yb<sup>3+</sup>/Er<sup>3+</sup>@LiLuF<sub>4</sub>, полученных при возбуждении излучением  $\lambda$  = 975 нм, показаны по вставках.

ацетатных прекурсоров и комплексно охарактеризованы методами РФА, электронной микроскопии, флуоресцентной спектроскопии. Установлено, что увеличение содержания источника ионов лития в реакционной смеси позволяет получать частицы большего размера. Варьирование катионного состава матрицы  $\text{Li}RF_4$  приводит к замедлению кинетики их роста и уменьшению размеров НЧ по ряду R = Y-Yb-Lu при прочих равных условиях.

Оптимизированный метод гетерогенной кристаллизации НЧ  ${\rm Li}R{\rm F}_4$  с использованием нанозатравок позволяет целенаправленно контролировать размерные характеристики соединений  ${\rm Li}R{\rm F}_4$  вне зависимости от качественного состава матрицы.

HЧ LiYF<sub>4</sub>@LiYbF<sub>4</sub>:Tm<sup>3+</sup>@LiYF<sub>4</sub> демонстрируют более эффективное антистоксовое преобразование ИК-квантов в излучение коротковолнового диапазона по сравнению с НЧ на основе матрицы β-NaYF<sub>4</sub>. Интенсивность стоксовой ФЛ  $(\lambda = 1530 \text{ HM}) \text{ HY LiYF}_4@\text{LiLuF}_4:\text{Yb}^{3+}/\text{Er}^{3+}@\text{LiYF}_4$ сопоставима с показателями гексагональных соединений  $\beta$ -NaYF<sub>4</sub>:Yb<sup>3+</sup>/Er<sup>3+</sup>@NaYF<sub>4</sub>. Полученные спектроскопические данные и преимущества в технологичности синтеза позволяют рассматривать изученные наноматериалы в качестве альтернативы активно применяемым НЧ на основе матрицы β-NaYF<sub>4</sub>, что открывает потенциальные возможности для их практического применения. Определение квантового выхода, изучение кинетики ФЛ, оптимизация легирующего состава матриц LiRF<sub>4</sub> являются целями дальнейших исследований.

Авторы выражают благодарность И.О. Горячуку за помощь в получении спектроскопических данных и их интерпретации.

Работа проведена в рамках выполнения государственного задания НИЦ "Курчатовский институт" в части характеризации полученных образцов с использованием оборудования Центра коллективных исследований ФНИЦ "Кристаллография и фотоника" РАН, оптимизация методики синтеза наночастиц проводилась в рамках проектов Российского фонда фундаментальных исследований (проект № 20-52-56017) и Национального научного фонда Ирана (проект № 99004620).

#### СПИСОК ЛИТЕРАТУРЫ

- Combes C.M., Dorenbos P., Van Eijk C.W. et al. // J. Luminescence. 1997. V. 71. № 1. P. 65. https://doi.org/10.1016/S0022-2313(96)00118-4
- Каминский А.А., Ляшенко А.И., Исаев Н.П. и др. // Квантовая электроника. 1998. Т. 25. № 3. С. 195.
- 3. *Loiko P., Soulard R., Guillemot L. et al.* // IEEE J. Quantum Electron. 2019. V. 55. № 6. P. 1. https://doi.org/10.1109/JQE.2019.2943477

- 4. *Yokota Y., Yamaji A., Kawaguchi N. et al.* // Phys. Status Solidi. C. 2012. V. 9. № 12. P. 2279. https://doi.org/10.1002/pssc.201200290
- Kamada K., Hishinuma K., Kurosawa S. et al. // Opt. Mater. 2016. V. 61. P. 134. https://doi.org/10.1016/j.optmat.2016.09.019
- Qiu Z., Wang S., Wang W., Wu S. // ACS Appl. Mater. Interfaces. 2020. V. 12. № 26. P. 29835. https://doi.org/10.1021/acsami.0c07765
- 7. Vasyliev V., Villora E.G., Nakamura M. et al. // Opt. Express. 2012. V. 20. № 13. P. 14460. https://doi.org/10.1364/OE.20.014460
- 8. Romanova I.V., Tagirov M.S. // Magnetic Resonance in Solids. Electronic J. 2019. V. 21. № 4. P. 13. https://doi.org/10.26907/mrsej-19412
- 9. Zelmon D.E., Erdman E.C., Stevens K.T. et al. // Appl. Opt. 2016. V. 55. № 4. P. 834. https://doi.org/10.1364/AO.55.000834
- 10. *Khaydukov E.V., Mironova K.E., Semchishen V.A. et al.* // Sci. Rep. 2016. V. 6. № 1. P. 35103. https://doi.org/10.1038/srep35103
- Hao S., Shang Y., Li D. et al. // Nanoscale. 2017. V. 9.
   № 20. P. 6711.
   https://doi.org/10.1039/C7NR01008G
- 12. Zheng K., Han S., Zeng X. et al. // Adv. Mater. 2018. V. 30. № 30. P. 1801726. https://doi.org/10.1002/adma.201801726
- 13. *Guo Q., Wu J., Yang Y. et al.* // J. Power Sources. 2019. V. 426. P. 178. https://doi.org/10.1016/j.jpowsour.2019.04.039
- Zhou Y., Wu S., Wang F. et al. // Chemosphere. 2020.
   V. 238. P. 124648. https://doi.org/10.1016/j.chemosphere.2019.124648
- 15. *Каримов Д.Н., Демина П.А., Кошелев А.В. и др. //* Российские нанотехнологии. 2020. Т. 15. № 6. С. 699. https://doi.org/10.1134/S1992722320060114
- Huang R., Liu S., Huang J. et al. // Nanoscale. 2021.
   V. 13. № 9. P. 4812.
   https://doi.org/10.1039/D0NR09068A
- 17. *Yang Y., Huang J., Wei W. et al.* // Nature Commun. 2022. V. 13. № 1. P. 3149. https://doi.org/10.1038/s41467-022-30713-w
- 18. *Федоров П.П.* // Журн. неорган. химии. 1999 Т. 44. № 11. С. 1792.
- 19. *Mai H.X., Zhang Y.W., Si R. et al.* // J. Am. Chem. Soc. 2006. V. 128. № 19. P. 6426. https://doi.org/10.1021/ja060212h
- 20. *Naccache R., Yu Q., Capobianco J.A.* // Adv. Opt. Mater. 2015. V. 3. № 4. P. 482. https://doi.org/10.1002/adom.201400628
- 21. Wang J., Deng R., MacDonald M.A. et al. // Nat. Mater. 2014. V. 13. № 2. P. 157. https://doi.org/10.1038/NMAT3804

- 22. *Rojas-Gutierrez P.A.*, *DeWolf C.*, *Capobianco J.A.* // Part. Part. Syst. Charact. 2016. V. 33. № 12. P. 865. https://doi.org/10.1002/ppsc.201600218
- 23. *Cheng T., Marin R., Skripka A., Vetrone F.* // J. Am. Chem. Soc. 2018. V. 140. № 40. P. 12890. https://doi.org/10.1021/jacs.8b07086
- 24. *Wang J., Wang F., Xu J. et al.* // C.R. Chim. 2010. V. 13. № 6–7. P. 731. https://doi.org/10.1016/j.crci.2010.03.021
- 25. *Liu S., An Z., Huang J., Zhou B.* // Nano Res. 2023. V. 16. № 1. P. 1626. https://doi.org/10.1007/s12274-022-5121-9
- 26. *Kaczmarek A.M., Suta M., Rijckaert H. et al.* // J. Mater. Chem. C. 2021. V. 9. № 10. P. 3589. https://doi.org/10.1039/d0tc05865c
- 27. *Zhang X., Wang M., Ding J. et al.* // CrystEngComm. 2012. V. 14. № 24. P. 8357. https://doi.org/10.1039/c2ce26159f
- 28. *He E., Zheng H., Gao W. et al.* // Mater. Res. Bull. 2013. V. 48. № 9. P. 3505. https://doi.org/10.1016/j.materresbull.2013.05.046
- 29. *Chen B., Wang F.* // Inorg. Chem. Front. 2020. V. 7. № 5. P. 1067. https://doi.org/10.1039/C9QI01358J
- 30. *Zhang L., Wang Z., Lu Z. et al.* // J. Nanosci. Nanotechnol. 2014. V. 14. № 6. P. 4710. https://doi.org/10.1166/jnn.2014.8641
- 31. *Jiang X., Cao C., Feng W. et al.* // J. Mater. Chem. B. 2016. V. 4. № 1. P. 87. https://doi.org/10.1039/c5tb02023a
- 32. *Carl F., Birk L., Grauel B. et al.* // Nano Res. 2021. V. 14. P. 797. https://doi.org/10.1007/s12274-020-3116-y
- 33. *Gao W., Zheng H., He E. et al.* // J. Luminescence. 2014. V. 152. P. 44. https://doi.org/10.1016/j.jlumin.2013.10.046
- Li W., He Q., Xu J. et al. // J. Luminescence. 2020.
   V. 227. P. 117396. https://doi.org/10.1016/j.jlumin.2020.117396

- 35. *Zou Q.*, *Huang P.*, *Zheng W. et al.* // Nanoscale. 2017. V. 9. № 19. P. 6521. https://doi.org/10.1039/C7NR02124K
- 36. *Liu J., Rijckaert H., Zeng M. et al.* // Adv. Funct. Mater. 2018. V. 28. № 17. P. 1707365. https://doi.org/10.1002/adfm.201707365
- Dong J., Zhang J., Han Q. et al. // J. Luminescence.
   2019. V. 207. P. 361. https://doi.org/10.1016/j.jlumin.2018.11.041
- 38. *Wang F., Deng R., Liu X.* // Nat. Protoc. 2014. V. 9. № 7. P. 1634. https://doi.org/10.1038/nprot.2014.111
- 39. *Boyer J.C., Cuccia L.A., Capobianco J.A.* // Nano Lett. 2007. V. 7. № 3. P. 847. https://doi.org/10.1021/nl070235+
- 40. *Koshelev A.V., Arkharova N.A., Khaydukov K.V. et al.* // Crystals. 2022. V. 12. № 5. P. 599. https://doi.org/10.3390/cryst12050599
- 41. *Wang F., Han Y., Lim C.S. et al.* // Nature. 2010. V. 463. № 7284. P. 1061. https://doi.org/10.1038/nature08777
- 42. *Liu Q.*, *Sun Y.*, *Yang T. et al.* // J. Am. Chem. Soc. 2011. V. 133. № 43. P. 17122. https://doi.org/10.1021/ja207078s
- 43. *Damasco J.A., Chen G., Shao W. et al.* // ACS Appl. Mater. Interfaces. 2014. V. 6. № 16. P. 13884. https://doi.org/10.1021/am503288d
- 44. *Huang X.* // Opt. Mater. Express. 2016. V. 6. № 7. P. 2165. https://doi.org/10.1364/OME.6.002165
- 45. *Alyatkin S., Asharchuk I., Khaydukov K. et al.* // Nanotechnology. 2016. V. 28. № 3. P. 035401. https://doi.org/10.1088/1361-6528/28/3/035401
- 46. *Gao D., Zhang X., Chong B. et al.* // Phys. Chem. Chem. Phys. 2017. V. 19. № 6. P. 4288. https://doi.org/10.1039/C6CP06402G
- 47. *Schroter A., Märkl S., Weitzel N., Hirsch T.* // Adv. Funct. Mater. 2022. V. 32. № 26. P. 2113065. https://doi.org/10.1002/adfm.202113065

## SYNTHESIS FEATURES OF Li $RF_4$ (R = Er—Lu) NANOPARTICLES BY THE HIGH-TEMPERATURE CO-PRECIPITATION METHOD AND THEIR PHOTOLUMINESCENT PROPERTIES

© 2024 A. V. Koshelev<sup>1,\*</sup>, V. V. Artemov<sup>1</sup>, N. A. Arkharova<sup>1</sup>, Mir Saeed Seyed Dorraji<sup>2</sup>, D. N. Karimov<sup>1</sup>

<sup>1</sup>Shubnikov Institute of Crystallography of Kurchatov Complex of Crystallography and Photonics of NRC "Kurchatov Institute," Moscow, Russia

<sup>2</sup>Department of Chemistry, Faculty of Science, University of Zanjan, Zanjan, Iran \* Correspondence to: avkoshelev03@gmail.com

Nanoparticles of Li  $RF_4$  (R=Y, Yb, Lu), activated with Yb³+/Er³+ and Yb³+/Tm³+ ions, were obtained by the high-temperature co-precipitation method. The influence of the precursor molar ratio and the cationic composition of matrices on their dimensionality and morphology was studied. A method for the heterogeneous crystallization of these compounds using LiYF4 nanoseeds was optimized, which opens up opportunities for controlled synthesis of LiRF4 nanoparticles with controllable characteristics. Among the studied objects, LiYF4@LiYbF4:Tm³+@LiYF4 nanoparticles demonstrate the most intense anti-Stokes photoluminescence in the UV ( $\lambda=362$  nm) and blue ( $\lambda=450$  nm) ranges, exceeding similar indicators for  $\beta$ -NaYF4:Yb³+/Tm³+@NaYF4 particles. LiYF4@LiLuF4:Yb³+/Er³+@LiYF4 nanoparticles are the most efficient converters of IR radiation in the  $\lambda=1530$  nm range among the investigated isostructural matrices and exhibit similar spectral-luminescent properties to the  $\beta$ -NaYF4:Yb³+/Er³+@NaYF4 compound with an equivalent degree of codoping. The obtained results allow considering LiYF4@LiYbF4:Tm³+@LiYF4 and LiYF4@LiLuF4:Yb³+/Er³+@LiYF4 nanoparticles as a real alternative to the most widely used phosphors based on the hexagonal matrix  $\beta$ -NaYF4 for photonics and biotechnology applications.